

信州大学工学部 正員 寒川典昭  
 " " 荒木正夫  
 信州大学大学院 学生員 寺島彰

## 1. はじめに

M E P分布とは、与えられた制約条件の下で情報エントロピーを最大にする分布である。我々は、今まで1変数M E P分布について考察し、実測データに対する適合度を検討してきた。本稿では、これを拡張して、変数x, yからなる相互エントロピーを最大にする分布、すなわち2変数M E P分布を評価する。さらに、この分布をモーメントとの関連において検討し、採用するモーメントの数と適合度との関係を明らかにする。

## 2. 理論式の構成とパラメタの評価法

x, yの同時確率密度関数をp(x,y)とすると、相互エントロピーH(X,Y)は次式で与えられる。

$$H(X,Y) = - \int_0^\infty \int_0^\infty p(x,y) \ln p(x,y) dx dy \quad \dots (2.1)$$

又、我々がx, yに関して知り得る情報を次の形で取り入れる。

$$\int_0^\infty \int_0^\infty p(x,y) dx dy = 1 \quad \dots (2.2) \quad \int_0^\infty \int_0^\infty x^a p(x,y) dx dy = a^u x \quad \dots (2.3)$$

$$\int_0^\infty \int_0^\infty y^b p(x,y) dx dy = b^u y \quad \dots (2.4) \quad \int_0^\infty \int_0^\infty x^c y^d p(x,y) dx dy = c^u d^u x y \quad \dots (2.5)$$

$$b=1, 2, \dots N_b \quad c=1, 2, \dots N_c, d=1, 2, \dots N_d$$

(2.2)～(2.5)式を制約条件として(2.1)式を最大にするp(x,y)を求めるることは、与えられた情報はモーメントの形で取り入れ、それ以外はx, yがランダムに発生する分布を求めていることである。言い換えると、このことは、情報の与え方には主観が入るが、それ以外はできるだけ客観的な分布、すなわち相互エントロピーを最大にする分布を求めていくことになる。我々は、水文事象のようなデータの少ない自然現象の説明に、このような分布を採用することは妥当と考える。そこで、上記の問題をラグランジュの未定乗数法で解くと最大エントロピー推定値(2変数M E P分布)  $\hat{p}(x,y)$  は次のようにになる。

$$\hat{p}(x,y) = \exp(-\alpha - \sum_{a=1}^{N_a} \beta_a x^a - \sum_{b=1}^{N_b} \gamma_b y^b - \sum_{c=1}^{N_c} \sum_{d=1}^{N_d} \delta_{cd} x^c y^d) \quad \dots (2.6)$$

ここで、 $\alpha, \beta_a, \gamma_b, \delta_{cd}$  はラグランジュ乗数である。いま、 $\beta_a, \gamma_b, \delta_{cd}$  の近似値を  $\beta_a^0, \gamma_b^0, \delta_{cd}^0$ 、残差を  $\epsilon_a^0, \epsilon_b^0, \epsilon_{cd}^0$  とおくと、

$$\beta_a = \beta_a^0 + \epsilon_a^0, \quad \gamma_b = \gamma_b^0 + \epsilon_b^0, \quad \delta_{cd} = \delta_{cd}^0 + \epsilon_{cd}^0 \quad \dots (2.7)$$

となり、これを(2.3)～(2.5)式に代入して線形化すると次式が得られる。

$$\sum_{a=1}^{N_a} (z_{i+a, 0} - i^u x z_{a, 0}) \epsilon_a^0 + \sum_{b=1}^{N_b} (z_{i, b} - i^u x z_{0, b}) \epsilon_b^0 + \sum_{c=1}^{N_c} \sum_{d=1}^{N_d} (z_{i+c, d} - i^u x z_{c, d}) \epsilon_{cd}^0 = z_{i, 0} - i^u x z_{0, 0} \quad \dots (2.8)$$

$$\sum_{a=1}^{N_a} (z_{a, j} - j^u y z_{a, 0}) \epsilon_a^0 + \sum_{b=1}^{N_b} (z_{0, j+b} - j^u y z_{0, b}) \epsilon_b^0 + \sum_{c=1}^{N_c} \sum_{d=1}^{N_d} (z_{c, j+d} - j^u y z_{c, d}) \epsilon_{cd}^0 = z_{0, j} - j^u y z_{0, 0} \quad \dots (2.9)$$

$$\sum_{a=1}^{N_a} (z_{k+a, 1} - k^u x y z_{a, 0}) \epsilon_a^0 + \sum_{b=1}^{N_b} (z_{k, 1+b} - k^u x y z_{0, b}) \epsilon_b^0 + \sum_{c=1}^{N_c} \sum_{d=1}^{N_d} (z_{k+c, 1+d} - k^u x y z_{c, d}) \epsilon_{cd}^0 = z_{k, 1} - k^u x y z_{0, 0} \quad \dots (2.10)$$

ここで

$$z_{i,j} = \int_0^\infty \int_0^\infty x^i y^j \exp(-\sum_{a=1}^{N_a} \beta_a^0 x^a - \sum_{b=1}^{N_b} \gamma_b^0 y^b - \sum_{c=1}^{N_c} \sum_{d=1}^{N_d} \delta_{cd}^0 x^c y^d) dx dy$$

具体的に、次の順序で計算する。

1)  $\beta_a^0, \gamma_b^0, \delta_{cd}^0$  を仮定する。2)(2.8)～(2.10)式の連立方程式を  $\epsilon_a^0, \epsilon_b^0, \epsilon_{cd}^0$  に関して解く。3) 求めた  $\epsilon_a^0, \epsilon_b^0, \epsilon_{cd}^0$  を(2.7)式に代入して  $\beta_a^0, \gamma_b^0, \delta_{cd}^0$  を計算し、これを次の近似値とみなす。4) 2), 3)

を  $\epsilon_a^\beta, \epsilon_b^\gamma, \epsilon_{cd}^\delta$  が微小となるまで繰り返す。

### 3. 適合度の計数例と安定性

1例として、次式で与えられる2変数ガンマ分布を母集団と仮定する。

$$P(x, y) = \frac{1}{\Gamma(v)} \frac{v+1}{2} \frac{v-1}{(1-\rho)\rho} \exp \left\{ -\frac{x}{\sigma_1(1-\rho)} - \frac{y}{\sigma_2(1-\rho)} \right\} \\ * (xy)^{\frac{v-1}{2}} I_{v-1} \left( \frac{2\sqrt{\rho}}{1-\rho} \sqrt{\frac{xy}{\sigma_1\sigma_2}} \right) \quad \dots (3.1)$$

ここで、1次モーメントによって基準化されたモーメントすなわち、 $a^m_x = a^\mu_x / (1^\mu_x)^a$ ,  $b^m_y = b^\mu_y / (1^\mu_y)^b$ ,  $cd^m_{xy} = cd^\mu_{xy} / ((1^\mu_x)^c (1^\mu_y)^d)$  を用い、2変数M E P分布によって適合させる。計算にあたって、 $\sigma_1 = \sigma_2 = \sigma$ ,  $1^\mu_x = 1^\mu_y (= v\sigma) = 1$ とした。表-1はこのときのラグランジュ乗数を、図-1は適合度分布を示したものである。

ここで、 $2G(q, r)$ は、(3.1)式で  $v = q$ ,  $\rho = r$ とした分布、 $2G(s, t, u, v)$ は  $Na = s$ ,  $Nb = t$ ,  $Nc = u$ ,  $Nd = v$ とした2変数M E P分布である。いくつかの計算例から、 $2G(4, 4, 2, 2)$ は母集団の形をよく記述できることが明らかになつた。一方、図-2は(3.1)式を母集団としてデータを発生させ、モーメントを計算して求めた2変数M E P分布である。データが、 $x$ ,  $y$ それぞれ70個の場合には、母集団よりも分布となつていて、データ数の増加とともに、M E P分布は母集団に近づいてくることが予想される。このことについては、講演時に示す。又、モーメントの安定性とデータ数との関係を(3.1)式を母集団としてシミュレーションにより検討した。その結果、明確ではないが、データ数が60~80個付近から、モーメントの平均が真値に近づき、標準偏差が小さくなつてくる様子がみられた。

### 4. あとがき

本研究では、2変数M E P分布の構成を議論し、その分布の特徴を(3.1)式を母集団として考察した。その結果、2変数M E P分布の評価法が示され、 $2G(4, 4, 2, 2)$ は母集団をよく記述できることが明らかになつた。今後、モーメントのもつ誤差が2変数M E P分布に及ぼす影響を感度分析を介して検討するとともに、2変数M E P分布の存在条件、情報の与え方とM E P分布の関係、実測データへの適用、多変数への拡張等を検討したいと考えている。

表-1 ラグランジュ乗数

(a)  $2G(2, 0.5)$

|                        | $2G(2, 2, 1, 1)$ | $2G(4, 4, 1, 1)$ | $2G(4, 4, 2, 2)$ |
|------------------------|------------------|------------------|------------------|
| $a$                    | 0.57084          | 1.6852           | 1.2734           |
| $\beta_1 (= \gamma_1)$ | 0.14688          | -2.0921          | -1.5278          |
| $\beta_2 (= \gamma_2)$ | 0.77881          | 2.8953           | 3.2772           |
| $\beta_3 (= \gamma_3)$ | —                | -0.70465         | -0.89304         |
| $\beta_4 (= \gamma_4)$ | —                | 0.06828          | 0.077565         |
| $\delta_{11}$          | -1.1866          | -1.0480          | -2.9656          |
| $\delta_{12}$          | —                | —                | 0.40641          |
| $\delta_{21}$          | —                | —                | 0.40641          |
| $\delta_{22}$          | —                | —                | -0.067129        |

(b)  $2G(4, 0.5)$

|                        | $2G(2, 2, 1, 1)$ | $2G(4, 4, 1, 1)$ | $2G(4, 4, 2, 2)$ |
|------------------------|------------------|------------------|------------------|
| $a$                    | 2.1283           | 5.3627           | 4.5707           |
| $\beta_1 (= \gamma_1)$ | -1.8801          | -8.3625          | -7.2592          |
| $\beta_2 (= \gamma_2)$ | 2.3276           | 9.7708           | 10.475           |
| $\beta_3 (= \gamma_3)$ | 2.—              | -3.1215          | -3.6144          |
| $\beta_4 (= \gamma_4)$ | —                | 0.39584          | 0.42859          |
| $\delta_{11}$          | -2.6116          | -2.3235          | -6.3267          |
| $\delta_{12}$          | —                | —                | 1.0551           |
| $\delta_{21}$          | —                | —                | 1.0551           |
| $\delta_{22}$          | —                | —                | 0.22084          |

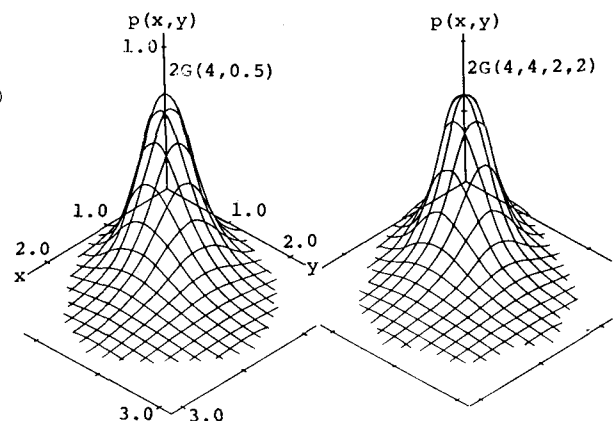


図-1 母集団と適合度分布の比較

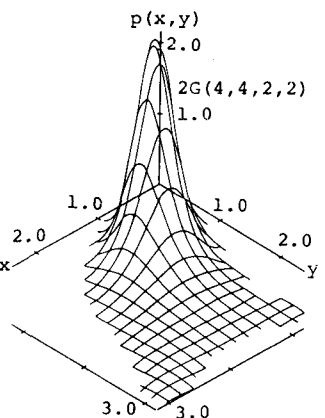


図-2 シミュレーション分布  
(母集団:  $2G(4, 0.5)$ , データ数:  $x=70$ ,  $y=70$ 個の場合)

1) 寒川, 荒木, 甲田: 降水頻度分析へのM E Pの導入について, 第39回土木学会年講, 昭和57年10月。